

М. Б. Зельман, Б. В. Смородский

**О ЛИНЕЙНОЙ ЭВОЛЮЦИИ ВОЗМУЩЕНИЙ  
В ПОГРАНИЧНЫХ СЛОЯХ  
С ПЕРЕГИБНЫМ ПРОФИЛЕМ СКОРОСТИ**

Важное значение для характера ламинарно-турбулентного перехода (ЛТП) имеет распределение завихренности основного потока. Наличие в нем экстремумов (перегибов в профиле средней скорости) вносит специфические особенности как в параметры устойчивости ламинарного движения, так и в структуру последующей турбулентной области. Особенно отчетливо это показано на примере свободных сдвиговых течений [1—3].

В пограничных слоях появление перегибных профилей может быть вызвано геометрией обтекаемой поверхности, воздействием крупномасштабных структур набегающего потока или самовоздействием интенсивной волны неустойчивости внутри слоя. В последнем случае возникновение особенности, как предполагают, инициирует развитие вторичной высокочастотной неустойчивости, приводящей к турбулентации. Изучению этих проблем посвящены работы [3—9]. В [3, 7—9] в рамках линейного невязкого приближения рассматривалась устойчивость модельных или извлеченных из экспериментов вторичных течений. В более полной постановке (ненулевой вязкости) проведены расчеты примеров предотрывных пограничных слоев [4, 6]. Детальное исследование влияния малой деформации (в виде локализованной струйки) на устойчивость течения в плоском канале проведено в [10].

Однако проблема поиска общих зависимостей формирования спектра и структуры неустойчивых возмущений в пограничном слое от положения и степени перегиба остается открытой. Попытка ее решения для диапазона чисел Рейнольдса и волновых спектров пульсаций, реализуемых в типичных экспериментах по ЛТП, предпринимается в настоящей работе. В рамках линейной локально-параллельной задачи устойчивости рассматривается эволюция волн и волновых пакетов пульсаций дискретного и непрерывного спектра при вариации параметров перегиба. Универсальность выявленных в базисном [11] потоке закономерностей устанавливается сравнением с типичными профилями других видов.

В приближении локальной параллельности поле скоростей пограничного слоя представим в виде  $\mathbf{U} = (U + \varepsilon u_1, \varepsilon u_2, \varepsilon u_3)$ , где  $(U(y), 0, 0)$  отвечает основному потоку, а  $\varepsilon(u_1, u_2, u_3)$  — его возмущению. В качестве базисного выберем профиль  $U = U_G(y)$  [11], представленный кривой 2 на рис. 1. Такой профиль моделирует движение интенсивных вихрей в слое, и в переменных, обезразмеренных по толщине вытеснения и скорости набегающего потока, он дается зависимостью

$$(1) \quad U_G = \begin{cases} U_- + \kappa(\operatorname{th} \tilde{y} + 1), & y < y_r, \\ U_+ + \kappa(\operatorname{th} \tilde{y} - 1), & y > y_r, \end{cases}$$

$$\tilde{y} = \frac{y - y_r}{\delta}, \quad \delta = \operatorname{Re}^{-1/2} \ll 1, \quad y_r \gg \delta.$$

Здесь  $\operatorname{Re}$  — число Рейнольдса потока;  $y_r$  — положение точки перегиба;  $\delta$  и  $\kappa$  характеризуют ширину зоны и степень отклонения профиля от распределения Блазиуса  $U_B$  (кривая I, рис. 1);  $U_{\pm}$  — решения краевой задачи

$$(2) \quad \frac{\partial^3 \Psi}{\partial y^3} + \frac{\Psi}{2} \frac{\partial \Psi}{\partial y} = 0, \quad \Psi = \{\Psi_-, \Psi_+, \Psi_B\}, \quad U_B = \frac{\partial \Psi}{\partial y},$$

$$0 \leq y \leq y_r, \quad U_- = \partial \Psi_- / \partial y, \quad \Psi_-(0) = U_-(0) = 0,$$

$$U_-(y_r) = U_B(y_r) - \kappa, \quad y_r \leq y < \infty, \quad U_+ = \partial \Psi_+ / \partial y,$$

$$\Psi_+(y_r) = \Psi_-(y_r), \quad U_+(y_r) = U_B(y_r) + \kappa,$$

$$U_+ \rightarrow 1 \text{ при } y \rightarrow \infty.$$

Выбор  $U_G$  в качестве базисного профиля, кроме самостоятельного интереса, обусловлен простотой зависимости  $U_G = U(y, y_r, \kappa, \delta)$ .

Система уравнений для возмущений в линейном приближении принимает вид

$$(3) \quad L(\eta) + \frac{\partial U}{\partial y} \frac{\partial u_2}{\partial z} = 0, \quad \bar{L}(\Delta u_2) - \frac{\partial^2 U}{\partial y^2} \frac{\partial u_2}{\partial x} = 0,$$

$$(\eta, u_2) = 0 \quad (y = 0), \quad (\eta, u_2) \rightarrow 0 \quad (y \rightarrow \infty), \quad (\eta, u_2) = (\eta^0, u_2^0) \quad (t = 0),$$

$$L = \frac{\partial}{\partial t} + U \frac{\partial}{\partial x} - \frac{\Delta}{Re}, \quad \left| \frac{\partial U}{U \partial x} \right| \ll \lambda^{-1}$$

( $\eta$  — нормальная к стекке компонента вихря,  $\lambda$  — характерный масштаб продольного изменения возмущения).

Решение (3) представимо интегралом

$$(4) \quad u_j = \int_{-\infty}^{\infty} d\alpha \int_{-\infty}^{\infty} d\beta A(\alpha, \beta) \psi_j(y, \alpha, \beta) \exp i(\alpha x + \beta z - \bar{\omega}t) + \\ + \int_{-\infty}^{\infty} d\alpha \int_{-\infty}^{\infty} d\beta \int_{-\infty}^{\infty} dk B(\alpha, \beta, k) \varphi_j(y, k) \exp i(\alpha x + \beta z - \tilde{\omega}t),$$

где  $j = 1, 2, 3$ ;  $A$  и  $B(\alpha, \beta, k)$  находятся из начальных условий;  $\psi_j$ ,  $\bar{\omega} = \bar{\omega}(\alpha, \beta) = \omega + i\omega_i$  — собственные функции и значения дискретного спектра задачи Оппа — Зоммерфельда;  $\varphi_j(y, k)$ ,  $\tilde{\omega}(\alpha, \beta, k)$  отвечают непрерывному спектру.

Будем рассматривать устойчивость  $U_G$  в зависимости от  $\kappa$ ,  $y_r$ ,  $Re$ . Согласно расчетам для волновых возмущений Толлмина — Шлихтинга (ТШ), появление перегиба ( $\kappa > 0$ ) заметно деформирует вид  $\psi_j(y)$  и спектр усиливающихся пульсаций. Характер влияния существенно связан с  $\kappa$  и положением точки  $y_r$ . Оказалось, что в широком диапазоне значений  $\alpha$ ,  $\beta$ ,  $Re$ , соответствующих области линейной неустойчивости недеформированного потока, существует интервал значений  $y_r = y \in l$ , внутри которого увеличение  $\kappa$  способствует как уширению спектра неустойчивых волн, так и росту максимума их инкрементов. Положение интервала  $l$  и его размеры варьируют с  $Re$  внутри  $0,8 \leq y \leq 2,5$ , захватывая окрестность критического слоя волны  $y = y_c \approx 1$ , но не достигая внешней границы слоя  $y \approx 5$  (см. рис. 1). Существенно, что для перегиба, расположенного вне области  $l$ , увеличение  $\kappa$  в этом диапазоне  $\alpha$ ,  $Re$  приводит к подавлению неустойчивости. Однако стабилизация при перегибе в пристенной области  $y < l$  не носит глобальный характер. С ростом  $\kappa$  происходит смещение зоны неустойчивости в область ВЧ-колебаний без расширения интервала  $\alpha$ . Раскачка возмущений при  $y > l$  не наблюдается вплоть до  $10^{-3} \leq \alpha \leq 10^2$ . Это качественно отличает процесс в граничном слое от свободных сдвиговых течений, всегда дестабилизируемых ростом  $\kappa$  [1, 2].

Зависимости волновых инкрементов  $\omega_i = \omega_i(\kappa)$  при  $F = 57,5 \cdot 10^{-6}$ ,  $Re = 625$ ,  $\beta = 0$  приведены на рис. 2 для  $y_r = 0,5; 0,75; 1,25; 1,75; 3,0$  (кривые 1—5 соответственно). Видно, что область критического слоя  $y_r \approx y_c$  является пограничной для  $l$ : инкременты падают при малых  $\kappa < \kappa_0$  в область отрицательных значений  $\omega_i$  и монотонно нарастают при  $\kappa > \kappa_0$ . Перегиб в зоне  $l$  расширяет полосу спектра неустойчивых колебаний, смещающая максимально неустойчивые колебания в область высоких частот и слабо затрагивая нижнюю границу. Сплошные линии 1—4 рис. 3 отвечают  $\kappa = 0$ ,  $y_r = 1$ ;  $\kappa = 2\%$ ,  $y_r = 1$ ;  $\kappa = 5\%$ ,  $y_r = 2$ ;  $\kappa = 2\%$  при  $Re = 625$ ,  $\beta = 0$ . Величины  $\omega_m = \omega(\omega_{im})$  и  $\omega_{im} =$

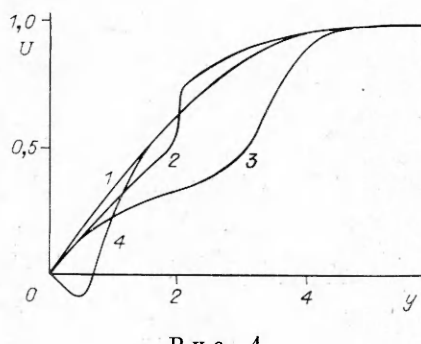


Рис. 1

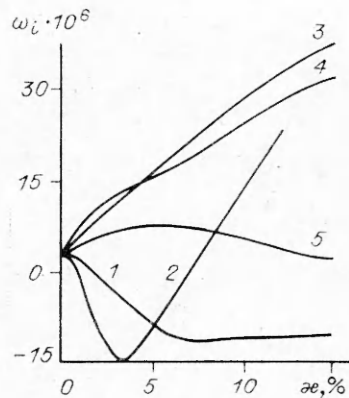


Рис. 2

$\omega = \omega(\alpha, \beta)$ . Несмотря на смещение  $\max |\psi_1|$  из зоны критического слоя  $y_c$ , фазовая скорость волны  $c = \omega/\alpha$  остается близкой к значению  $U_B(y_c)$ .

Таким образом, локальные изменения перегиба  $\kappa > 0$  существенно воздействуют на скорости усиления волны, тогда как ее фазовые свойства определяются интегральными параметрами пограничного слоя. Отметим влияние степени перегиба  $\kappa$  на ширину зоны неустойчивости по  $Re(\omega_i(Re) > 0)$ . Увеличение  $\kappa$  ( $y_r = \text{const}$ ) приводит к ее растяжению. При  $\kappa > 0$  и  $Re \rightarrow \infty$   $\omega_i \rightarrow \omega_{in}(y_r, \kappa, \omega)$  ( $\omega_{in}$  — «певязкое» предельное значение). Для кривой пейтральной устойчивости  $Re(\alpha)$  это означает выход верхней ветви на асимптоту  $\alpha \neq 0$ . Более детально результаты расчетов представлены в [12]. Возмущения с  $\alpha > 5$ , в согласии с [10], проявляют свойство локальности, связанное с тем, что вне узкой окрестности  $y_c$  их амплитуда резко убывает до нуля, и остаются инвариантными относительно  $\kappa$  при перегибе в  $y_r \neq y_c$ . В диапазоне  $300 \leq Re \leq 1500$ ,  $0.4 \leq y \leq 4$ ,  $\kappa \leq 10\%$  неустойчивость колебаний целиком обусловлена ТШ-модой. Появление дополнительных неустойчивых мод впервые обнаруживается при  $Re \geq 2500$ .

Анализ устойчивости  $U_G$  по отношению к трехмерным ( $\beta \neq 0$ ) возмущениям качественно воспроизводит отмеченные выше зависимости: для  $\kappa > 0$  имеется диапазон  $y_r \equiv l$ , внутри которого собственные функции  $\psi_j$  локализуются в  $y_r$ , уширяется спектр неустойчивых колебаний. Увеличение углов  $\xi = \arctg \beta/\alpha$  распространения фронта волны при  $\omega = \text{const}$  снижает инкремент усиления. С ростом  $\kappa$  несколько расширяется разброс значений  $\xi$ , соответствующих неустойчивым волнам.

Отмеченная выше фокусировка широкополосного волнового движения в узком вертикальном слое  $y \approx y_r$  делает важным вопрос о коллективных эффектах эволюции возмущений. Анализ эволюции пространственно-локализованных возмущений может быть сведен к рассмотрению аппрокси-

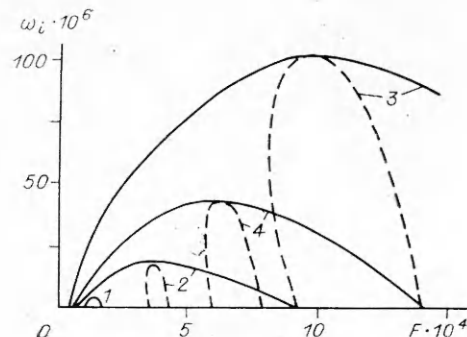


Рис. 3

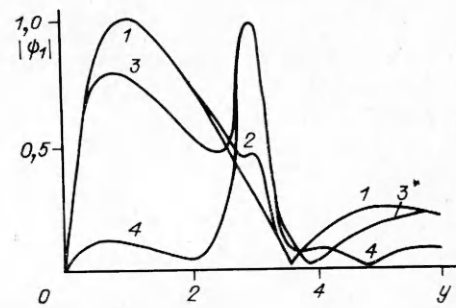


Рис. 4

мирующего набора квазигармонических пакетов. При этом решение задачи состоит в построении асимптотики интеграла (4), для чего требуется изучение связи  $\bar{\omega} = \bar{\omega}(\alpha, \beta)$  над полем комплексных  $\alpha, \beta$ . Смещение пути интегрирования (4) с реальных осей в плоскостях  $\alpha, \beta$  с учетом требования сходимости и прохождения через седловую точку  $\alpha_0, \beta_0$  ( $\partial\bar{\omega}/\partial\alpha = x/t, \partial\bar{\omega}/\partial\beta = z/t$ ) приводит к представлению решения в виде

$$(5) \quad u_j(y, \bar{\omega}, \text{Re}) \sim (1/t)\psi_j(y, \alpha_0, \beta_0, \text{Re}) \exp i(\alpha_0 x + \beta_0 z - \bar{\omega}_0 t).$$

Применение указанного подхода к  $U_G$  обнаружило, что качественные особенности групповой эволюции волн остаются аналогичными найденным для  $U_B$  [13]. В частности, происходит сужение диапазона несущих частот пакетов, царствующих в системе  $x_1 = x - t \partial\bar{\omega}/\partial\alpha$  ( $\gamma = \text{Im}(\bar{\omega} - \alpha\partial\bar{\omega}/\partial\alpha)$ ) относительно соответствующей области неустойчивых монокроматических колебаний (штриховые линии 2—4 на рис. 3; параметры расчетов отвечают припятям для монокроматических волн (сплошные линии 2—4)). В силу узости  $\omega$ -полосы неустойчивости ( $\gamma > 0$ ) можно ожидать, что в процессе эволюции широкополосное фоновое возмущение трансформируется в волновой цуг переменной несущей частоты  $\omega_m = \omega(\omega_{im}(\text{Re}))$ ,  $\omega_{im} = \max_\omega \omega_i(\text{Re})$  [13]. Особенностью перегибного  $U_G(y)$  при  $\kappa > 0$  является увеличение значений  $\omega_m, \gamma_m$  и преобразование цуга в квазигармонический пакет при  $\text{Re} \rightarrow \infty$ , когда  $\gamma_m \rightarrow \gamma_{in}$  и  $\omega_m \rightarrow \text{const}$ , как отмечалось выше.

Общность обнаруженных для  $U_G$  особенностей пуждается в выяснении. С этой целью рассматривалось течение, обобщающее на случай произвольных  $\delta \geqslant \text{Re}^{-1/2}$ ,  $y_r \geqslant \delta$  и аппроксимирующее предотрывной  $U_S$  и К-переходный (вторичный)  $U_K$  профили (см. рис. 1, линии 4, 3). Последние два распределения строились путем гладкого до второй производной отклонения полипомами от исходного профиля  $U_B(y)$ . При этом в качестве параметра  $\kappa$  (степени перегибности) выбиралась максимальная величина отклонения рассматриваемых профилей от распределения  $U_B(y)$ . Оказалось, что в рамках обобщенного  $U_G$  потока смещение  $y_r \rightarrow 0$  (в область вязкого подслоя) не вызывает локализации пика  $|\Psi_1|$  в  $y \approx y_r$ . Течение стабилизируется, так как  $y_r$  становится ниже слоя  $l$ . Растижение зоны  $\delta$  при перегибах  $y_r \in l$  слабо проявляется в спектральных характеристиках, но ведет к выпаданию пика  $|\Psi_1|$  в окрестности  $y_r$ .

Свойства эволюции возмущений, обнаруженные в потоке  $U_G$ , качественно воспроизводятся в течении  $U_K$ . Существует вертикальный слой  $l$  ( $0.8 \leqslant y \leqslant 3$ ), внутри которого перегиб ( $\kappa > 0$ ) приводит к расширению спектра неустойчивых пульсаций, смещению его в область больших  $\omega, \alpha, \omega_i$  и фокусировке  $|\Psi_1|$  в  $y_r$ .

Появление в потоке областей возвратного течения (профиля типа  $U_S$ ) меняет ряд отмеченных выше особенностей. Наличие перегиба при  $y_r \rightarrow 0$  больше не препятствует формированию пика  $|\Psi_1|$  вблизи стенки, в то время как спектр неустойчивых пульсаций слабо смещается в область больших  $\omega, \alpha$ . Проведенные расчеты согласуются с данными [4, 6]. Таким образом, универсальность переходных эффектов, обнаруженных при анализе  $U_G$ , оказывается ограниченной требованием монотонности профиля  $U(y)$ . Подобные условия типичны в пограничных слоях на плоской пластине, где, следовательно, образование перегиба в интервале  $y_r \in l$  за счет уширения частотно-волнового спектра и скоростей пульсаций должно способствовать ускоренному выходу на турбулентный режим.

В этом контексте находит подтверждение идея о вторичной неустойчивости как механизме перехода [7, 9]. В частности, зарождение локализованных областей турбулентности (пятен) может быть объяснено модуляцией  $U_K$ , вызывающей блуждание параметров перегиба  $(\kappa, y_r) = f(x, y, z, t)$  (такая модуляция действительно имеет место [9]). Тогда верти-

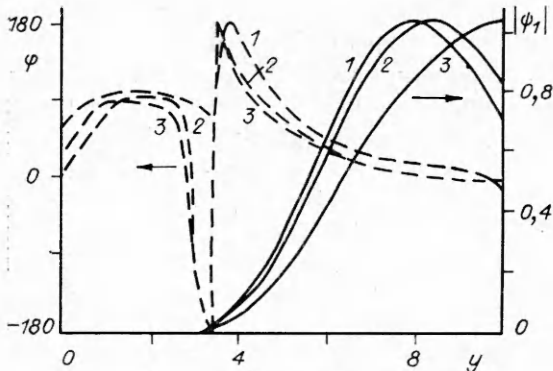


Рис. 5

находит основание вывод о «певторичной» природе всплесков [14]. Тем не менее возможность инициации перехода за счет механизма вторичной неустойчивости (при  $y_r \equiv l$ ) представляется весьма вероятной.

В заключение рассмотрим влияние перегиба на моды непрерывного спектра. Вопрос о восприимчивости пограничного слоя к возмущениям в набегающем потоке, в частности к волнам непрерывного спектра, остается открытым, и можно предполагать, что одним из механизмов воздействия на переход в пограничном слое является взаимодействие указанных и ТШ-мод. В случае течения Блазиуса такое взаимодействие оказывается неэффективным вследствие локализации ТШ внутри пограничного слоя, где пульсации непрерывного спектра имеют практически пульевую амплитуду. Коэффициенты взаимодействия, зависящие от произведения амплитудных функций, оказываются близкими к нулю.

Появление перегиба в профиле средней скорости вызывает локализацию пульсаций волны ТШ на высоте  $y \approx y_r$ , и в случае аналогичного фокусирующего воздействия на моды непрерывного спектра можно было ожидать появления конечного вклада в эти коэффициенты. В настоящей работе для анализа эффективности процесса изучалась зависимость пульсаций непрерывного спектра линейной задачи [15] от  $x$ ,  $y_r$ ,  $Re$ ,  $\alpha$ ,  $\omega$  для профилей  $U_G$ ,  $U_S$ ,  $U_K$ . Оказалось, что в изученном диапазоне параметров ( $300 \leq Re \leq 1000$ ,  $\kappa_G \leq 10\%$ ,  $\kappa_K \leq 30\%$ ,  $y_r \leq 4,5$ ,  $20 \cdot 10^{-6} \leq F \leq 115 \cdot 10^{-6}$ ) локализации пульсаций непрерывного спектра в точке перегиба не происходит. На рис. 5 представлены зависимости амплитуд и фаз (сплошные и штриховые линии соответственно) волны завихренности от  $y$  для профилей 1–3 скорости при  $Re = 625$ ,  $\alpha = 0,17$ ,  $U_B$ ;  $U_G$ ,  $\kappa = 6\%$ ,  $y_r = 3,5$ ;  $U_K$ ,  $\kappa = 30\%$ ,  $y_r \approx 3,5$ . Наоборот, первый максимум волны с ростом  $\kappa$  слегка вытесняется во внешнюю область слоя. Во внутренней области заметна только перестройка поперечного распределения фазы  $\phi = \arg \psi_1(y)$ . Такое поведение (отсутствие локализации амплитуд разных типов мод в зоне перегиба профиля скорости), по-видимому, делает неэффективным предложенный механизм воздействия внешних возмущений. Появление перегибов в профиле средней скорости является источником преобразований эволюции пульсаций внутри слоя.

#### ЛИТЕРАТУРА

- Сущик М. М. Динамика структур в сдвиговых течениях // Нелинейные волны: структуры и бифуркации.— М.: Наука, 1987.
- No C., Huerre P. Perturbed free shear layers // Ann. Rev. Fluid Mech.— 1984.— V. 16.— P. 365.
- Бетчев Р., Криминале В. Вопросы гидродинамической устойчивости.— М.: Мир, 1971.
- Nayfeh A. H., Ragab S. A., Al-Maaitab A. Effect of roughness on the stability of boundary layer.— N. Y., 1986.— (Pap./AIAA; N 86—1044).
- Kendall J. M. Experimental study of laminar boundary layer receptivity to a traveling pressure field.— N. Y., 1987.— (Pap./AIAA; N 87—1257).
- Gruber K., Bestek H., Fasel H. Interaction between a Tollmien — Schlichting wave and a laminar separation bubble.— N. Y., 1987.— (Pap./AIAA; N 87—1256).

кальная фокусировка широкополосных пульсаций дополнится их  $(x, z, t)$ -локализацией, спносимой со скоростью модуляции  $U_K$ .

С развитием данного процесса при  $K$ -переходе связывают [9] наблюдаемые на осциллографах «шипы». Наши расчеты, однако, не подтверждают такую связь, так как область регистрации «шипов» оказывается выше границы  $y_r \equiv l$ , за которой усиление не происходит. На-

7. Greenspan H. F., Benny D. J. On shear-layer instability, breakdown and transition // *J. Fluid Mech.* — 1963. — V. 15, pt 1.
8. Герценштейн С. Я. Об устойчивости нестационарного прямолинейного плоско-параллельного потока идеальной жидкости // Изв. АН СССР. МЖГ. — 1969. — № 2.
9. Nishioka M., Asai M., Iida S. An experimental investigation of the secondary instability // *Laminar-Turbulent Transition: IUTAM Symp.*, Stuttgart, Germany, 1979. — Berlin: Springer, 1980.
10. Гольдштак М. А., Штерн В. Н. Гидродинамическая устойчивость и турбулентность. — Новосибирск: Наука, 1977.
11. Gatsky T. B. Vortex motion in real bounded viscous flow // *Proc. Roy. Soc. London*. — 1985. — V. A397. — P. 397.
12. Зельман М. Б., Смородский Б. В. Развитие и взаимодействие возмущений в пограничных слоях с перегибным профилем скорости. — Новосибирск, 1989. — (Препр./АН СССР, Сиб. отд-ние, ИТПМ; № 2—89).
13. Зельман М. Б., Смородский Б. В. О пакетах волновых возмущений потока Blasiusa // Изв. АН СССР. МЖГ. — 1988. — № 1.
14. Качанов Ю. С. Резонансно-волновая природа перехода к турбулентности в пограничном слое // Моделирование в механике. — 1988. — Т. 1(18), № 2.
15. Жигулев В. Н., Тумин А. М. Возникновение турбулентности. — М.: Наука, 1987.

г. Новосибирск

Поступила 2/VI 1989 г.,  
в окончательном варианте — 1/IX 1989 г.

УДК 532.526

*B. N. Ветлуцкий*

## РАСЧЕТ СЖИМАЕМОГО ЛАМИНАРНОГО ПОГРАНИЧНОГО СЛОЯ НА ЗАОСТРЕННОМ ТЕЛЕ БИЭЛЛИПТИЧЕСКОГО СЕЧЕНИЯ

Задача определения параметров пространственного пограничного слоя весьма актуальна, поскольку ее решение дает распределение трения и тепловых потоков на поверхности обтекаемого тела. Из численного расчета полных уравнений пограничного слоя находятся параметры потока: компоненты скорости, температура и плотность, что позволяет получать новые знания о всей картине течения.

Наибольшее число работ по расчету ламинарного трехмерного пограничного слоя посвящено несжимаемым течениям [1—5]. При сверхзвуковых скоростях набегающего потока он наиболее изучен на затупленных телах (см., например, [6—9]). На заостренных телах пространственный сжимаемый пограничный слой рассмотрен в [10—13]. Рассчитанные в [10] углы предельных линий тока и профили скорости на круговом конусе под углом атаки сравниены с экспериментом [11]. На телах оживально-цилиндрической формы измерены распределения коэффициентов напряжения трения [12, 13].

В настоящей работе описаны постановка задачи и алгоритм расчета сжимаемого ламинарного пограничного слоя на заостренном теле. Приведены результаты расчетов для тела биэллиптического сечения при числе Маха  $M_\infty = 2$  и углах атаки  $\alpha = 0 - 10^\circ$ . Описана эволюция пространственного пограничного слоя с изменением угла атаки.

1. Рассматривается обтекание заостренного тела фюзеляжеобразной формы, на которое набегает сверхзвуковой поток газа с числом Маха  $M_\infty$ . Тело имеет плоскость симметрии, в которой лежит вектор скорости набегающего потока. Он составляет угол атаки  $\alpha$  с некоторой осью тела. В этом случае все течение также имеет плоскость симметрии.

Поверхность тела предполагается гладкой и ее уравнение задано в цилиндрической системе координат  $r = r(\xi, \zeta)$ . Координата  $\xi$  отсчитывается от вершины тела вдоль его оси,  $\zeta$  — меридиональный угол в поперечном сечении,  $\zeta = 0$  соответствует наветренной плоскости симметрии. Уравнения трехмерного сжимаемого ламинарного пограничного слоя записаны в неортогональной системе координат  $(\xi, \eta, \zeta)$ , связанной с поверхностью тела [14]. Координата  $\eta$  совпадает с местной нормалью к поверхности.

Носовая часть тела предполагается конической. В этом случае невязкий поток здесь конический, а уравнения пограничного слоя допускают автомодельное решение, зависящее от переменных  $\zeta, \lambda = \eta/V\xi$ .